

Pengaruh Doping Atom *Gallium (Ga)* dan *Arsenic (As)* terhadap Sifat Optik Linier dari Silicene dengan Pendekatan Teori Fungsi Kerapatan



Dessy Anggraeni Setyowati

13509030111023

PEMBIMBING I

Mauludi Ariesto Pamungkas, S.Si., M.Si., Ph.D

PEMBIMBING II

Dr. rer.nat. Abdurrouf S.Si., M.Si.

PENGUJI

Prof. Dr. rer.nat. Muhammad Nurhuda

Outline



- 1 PENDAHULUAN
- 2 TINJAUAN PUSTAKA
- 3 METODOLOGI
- 4 HASIL & PEMBAHASAN
- 5 PENUTUP



PENDAHULUAN

LATAR BELAKANG



Karbon

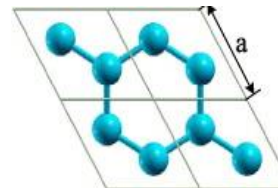


Silikon



Interaksi spin orbital kecil

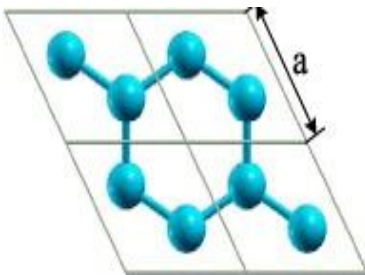
Graphene



Silicene

Dikembangkan mulai tahun 2012

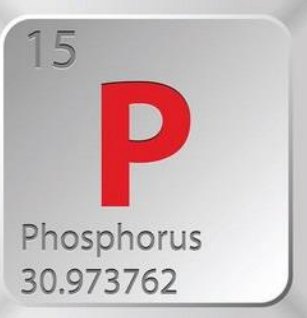
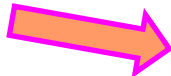
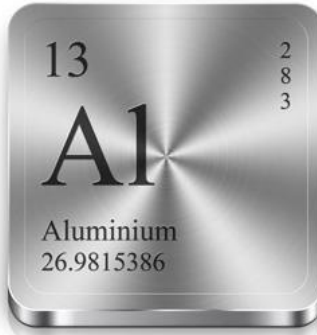
Interaksi spin orbital besar



Silicene



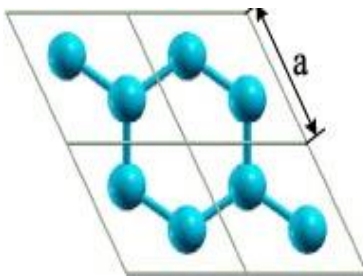
doping



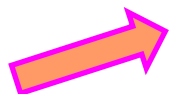
Telah dilakukan penelitian silicen didoping dengan Al dan P dengan menggunakan nanoset silicene berbentuk buckled (Das dkk, 2015).



PENDAHULUAN



Silicene



Gallium

Memiliki 3 elektron valensi

Doping semikonduktor tipe-p



Arsenic

Memiliki 5 elektron valensi

Doping semikonduktor tipe-n



Gallium

Arsenic

Semikonduktor yang berpasangan
(Vaclavik, 2013)

Punya kisi yang sama
(Saleh, 1991).

RUMUSAN MASALAH

Bagaimana sifat optik linier dari silicene dengan pendekatan teori fungsi kerapatan?

Bagaimana pengaruh doping atom Gallium (Ga) dan Arsenic(As) terhadap sifat optik linier dari silicene dengan pendekatan teori fungsi kerapatan?

BATASAN MASALAH

Struktur silicene yang digunakan hanya sel 2x2

Sifat optik yang dianalisa dan disimulasikan dibatasi pada indeks bias, koefisien pemantulan, dan koefisien penyerapan

TUJUAN PENELITIAN

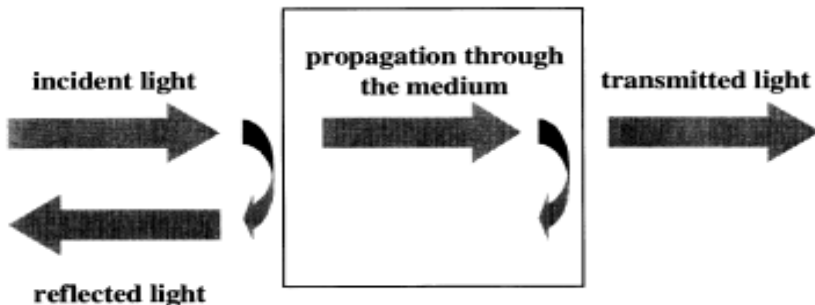
1. Mengetahui sifat optik linier dari silicene dengan pendekatan teori fungsi kerapatan.
2. Mengetahui pengaruh doping atom Gallium (Ga) dan Arsenic (As) terhadap sifat optik linier dari Silicene dengan pendekatan teori fungsi kerapatan.

MANFAAT PENELITIAN

Diharapkan mampu memberi arahan kepada eksperimentalis sebagai pembanding dalam mendesain struktur material di laboratorium

TINJAUAN PUSTAKA

Sifat optik



Keterangan :

ε = konstanta dielektrik

n = indeks bias real,

k = indeks bias imaginer (koef extinction)

λ = panjang gelombang (Angstrom)

Fox, 2011

$$\text{Indeks bias (n)} = \left(\frac{\sqrt{\varepsilon_1^2 + \varepsilon_2^2} + \varepsilon_1}{2} \right)^{1/2}$$

$$\text{Indeks bias (k)} = \left(\frac{\sqrt{\varepsilon_1^2 + \varepsilon_2^2} - \varepsilon_1}{2} \right)^{1/2}$$

$$\text{Koefisien pemantulan(r)} = \left(\frac{(n-1)^2 + k^2}{(n+1)^2 + k^2} \right)^{1/2}$$

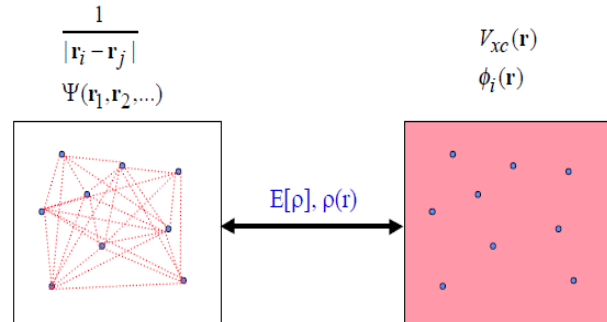
$$\text{Koefisien penyerapan}(\alpha) = \frac{4\pi k}{\lambda}$$

Teori Fungsi Kerapatan

Dengan menggunakan persamaan Kohn Sham

$$\left[\frac{\hbar^2}{2m} \nabla^2 + V(\mathbf{r}) + V_H(\mathbf{r}) + V_{XC}(\mathbf{r}) \right] \psi_i(\mathbf{r}) = \epsilon_i \psi_i(\mathbf{r})$$

$V(\mathbf{r})$ = Interaksi antara satu elektron dengan kumpulan inti atom



$$V_H(\mathbf{r}) = e^2 \int \frac{n(\mathbf{r}')}{|\mathbf{r} - \mathbf{r}'|} d^3 r' = \text{Interaksi dengan densitas elektron}$$

$V_{XC}(\mathbf{r})$ = potensial exchange correlation

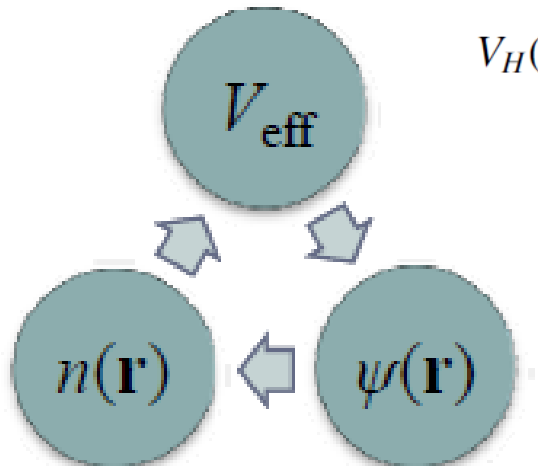


Teori Fungsi Kerapatan

$$\left[-\frac{\hbar^2}{2m} \nabla^2 + V_{\text{eff}}(\mathbf{r}) \right] \psi_i(\mathbf{r}) = \varepsilon_i \psi_i(\mathbf{r})$$

$$V_H(\mathbf{r}) = e^2 \int \frac{n(\mathbf{r}')}{|\mathbf{r} - \mathbf{r}'|} d^3 r' \quad V_{\text{eff}}(\mathbf{r}) = V_{\text{ext}}(\mathbf{r}) + V_{\text{H}}(\mathbf{r}) + V_{\text{xc}}(\mathbf{r})$$

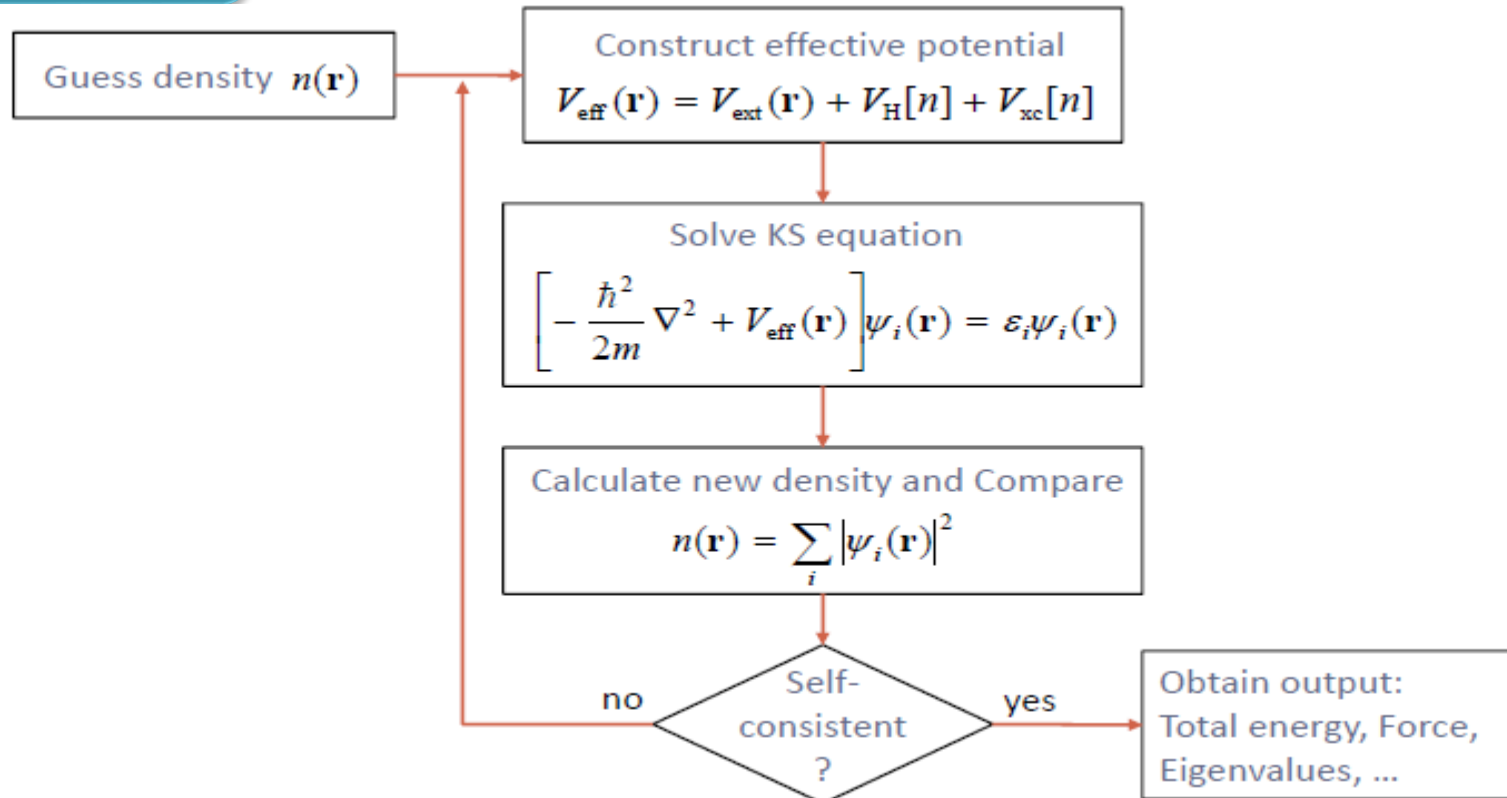
$$n(\mathbf{r}) = \sum_i |\psi_i(\mathbf{r})|^2$$



$\psi(\mathbf{r})$
 $\phi(\mathbf{r})$

Teori Fungsi Kerapatan

Iterasi



METODOLOGI

Waktu & Tempat

20 Januari 2017 s.d. 20 Juni 2017

Tempat Pelaksanaan

Laboratorium Komputasi dan
Pemodelan gedung Biomol
urusan Fisika FMIPA-UB



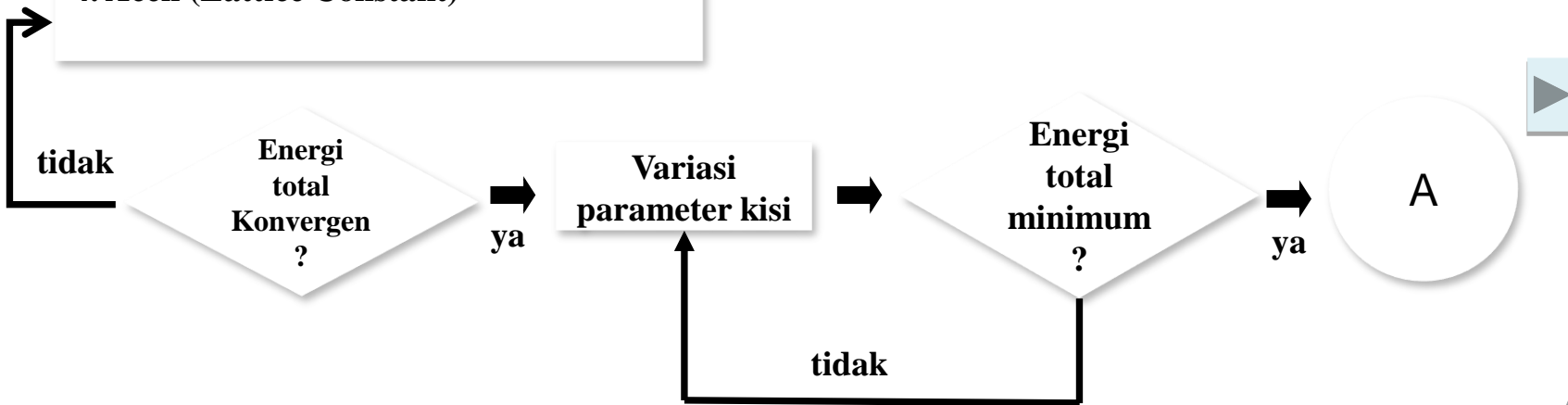
Inisialisasi parameter

Konvergensi :

1. Energi Cut-off(ecut)
2. Banyaknya iterasi maksimum(nstep)
3. Jumlah kpoint
4. Acell (Lattice Constant)

ALUR PENELITIAN

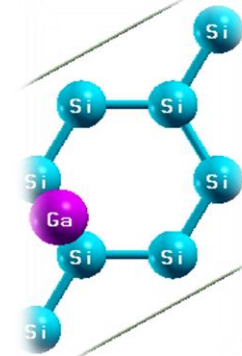
Tes Konvergensi



A
ya
↓
Doping adatom
↓
Konstanta Dielektrik

Perhitungan

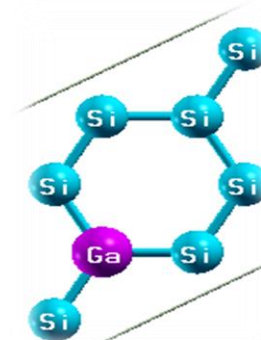
Posisi doping atom



Bridge



Hollow



Top

Perhitungan :

1. Indeks bias
2. Koefisien Pemantulan
3. Koefisien Penyerapan

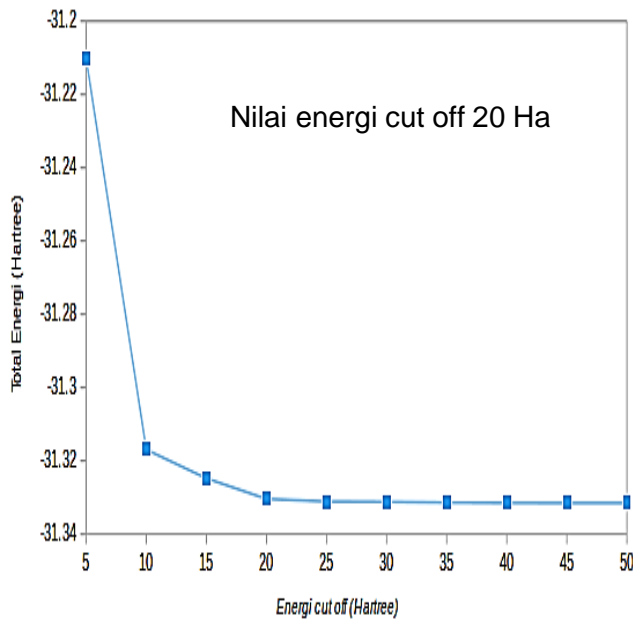
↓
Hasil

	B	H	T
B	BB	HB	TB
H	BH	HH	TH
T	BT	HT	TT

HASIL & PEMBAHASAN

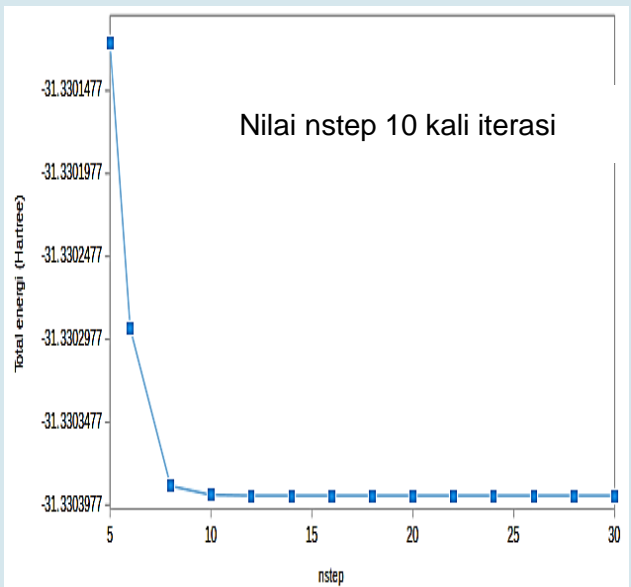
Tes Konvergensi

Energi Cut off Silicene



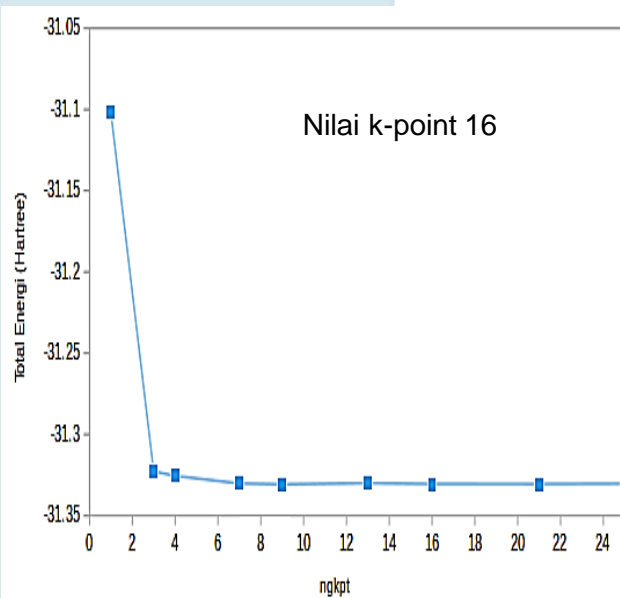
Nilai energi cut off 20 Ha

Banyaknya nstep Silicene



Nilai nstep 10 kali iterasi

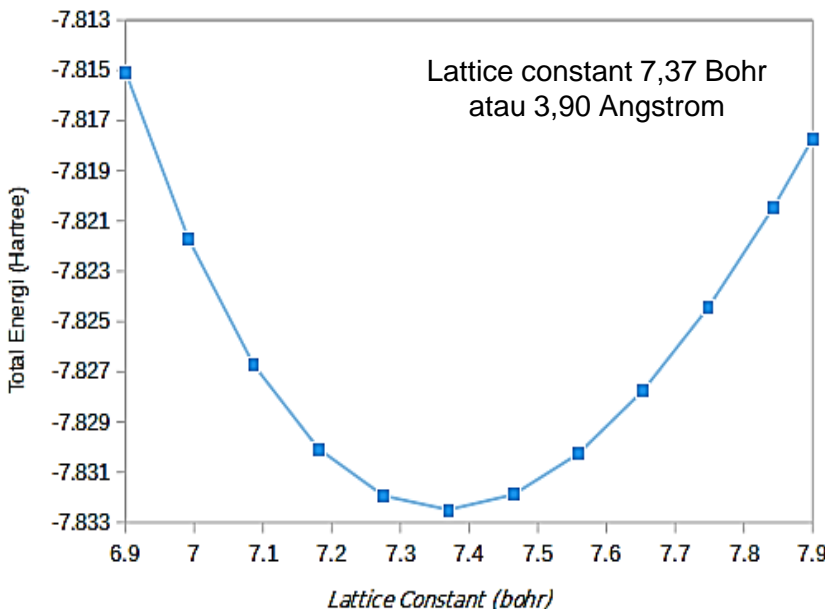
Jumlah k-point Silicene



Nilai k-point 16

Tes Validasi

Lattice Constant of Silicene

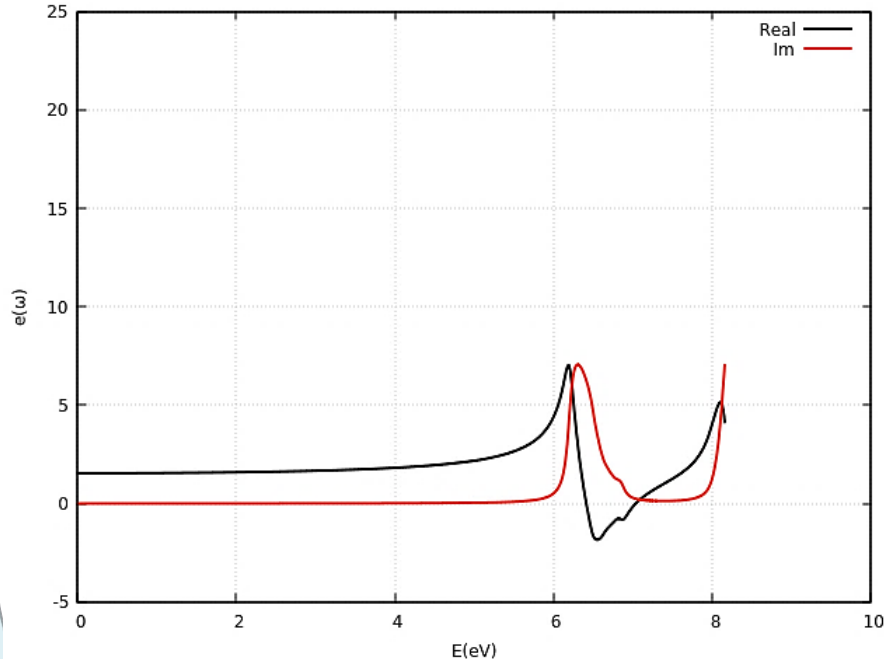


Lattice constant 7,37 Bohr
atau 3,90 Angstrom

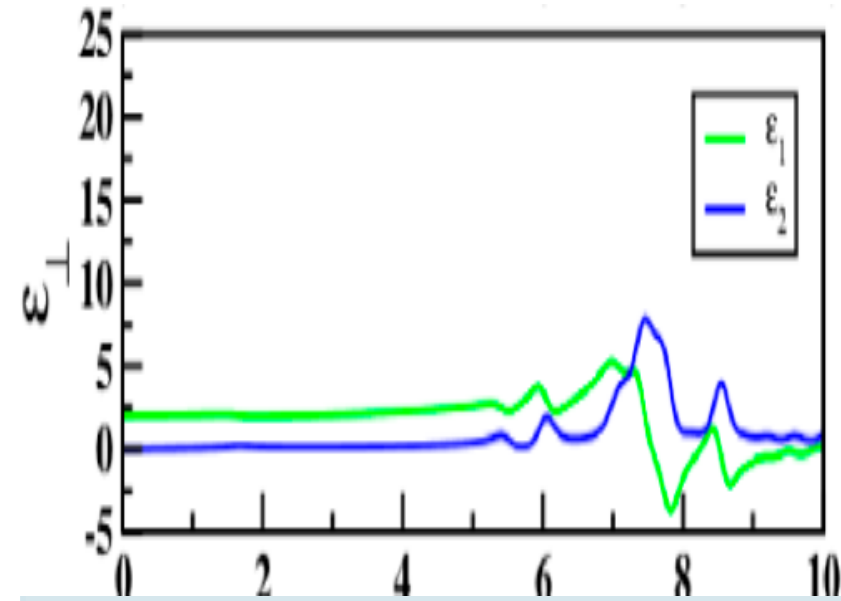
(Mohan dkk., 2013)	(Kaloni dkk., 2015)	(Lebegue, 2009)
3.85 Angstrom	3.91 Angstrom	3.90 Angstrom

Fungsi Dielektrik

Fungsi dielektrik dari Silicene

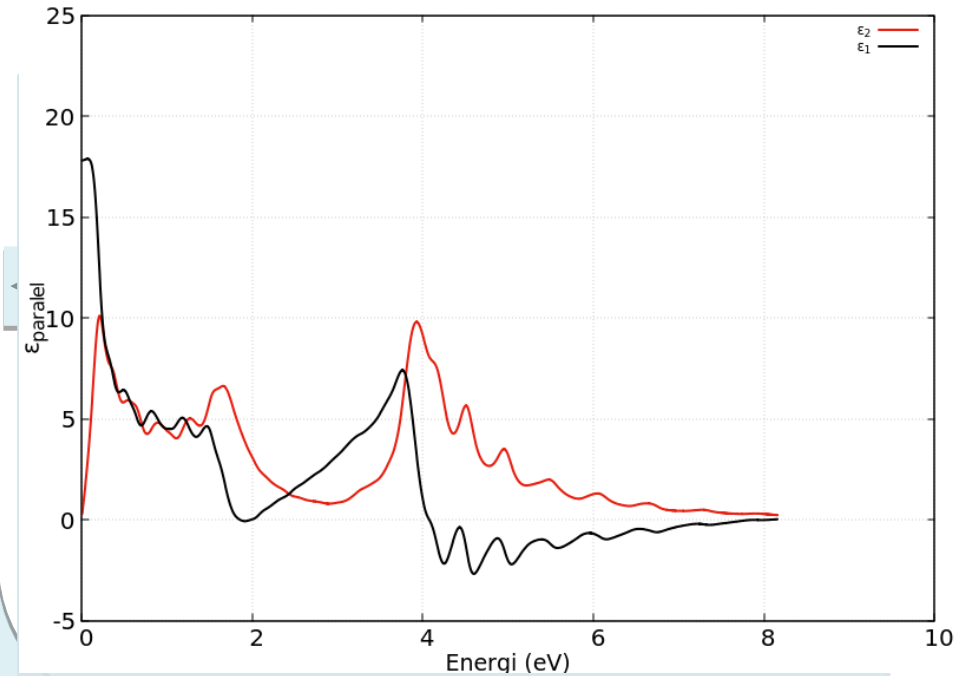


Fungsi dielektrik dari Silicene
(Chowdhury, 2016)

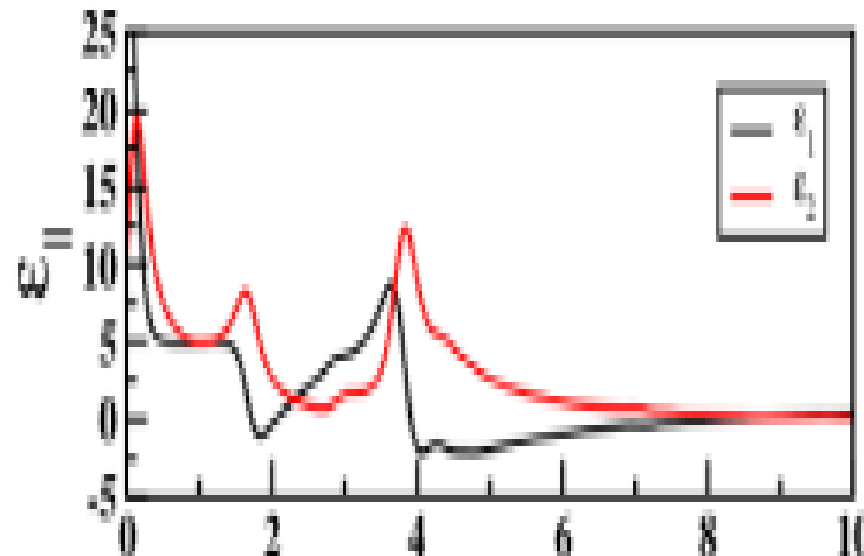


Fungsi Dielektrik

Fungsi dielektrik dari Silicene



Fungsi dielektrik dari Silicene (Chowdhury, 2016)



(indeks bias (real))

Posisi		Energi (eV)	Nilai Maksimum
Silicene murni		6,20	2,76
Si-Ga	B	3,80	1,71
	H	4,12	1,61
	T	3,94	1,61
Si-As	B	3,82	1,82
	H	2,80	1,89
	T	5,82	1,77
Si-GaAs	BB	0,25	2,24
	BH	0,13	2,29
	BT	0,17	2,35
	HB	1,89	2,19
	HH	2,77	2,21
	HT	5,67	1,69
	TB	0,42	2,07
	TH	0,50	2,31
	TT	2,12	2,46

(indeks bias (imajiner))

Posisi		Energi (eV)	Nilai Maksimum
Silicene murni		6,49	1,83
Si-Ga	B	5,71	1,06
	H	5,76	0,99
	T	6,16	0,85
Si-As	B	5,70	1,44
	H	5,79	0,99
	T	5,96	1,11
Si-GaAs	BB	3,30	1,66
	BH	3,65	1,04
	BT	3,19	1,32
	HB	3,15	1,14
	HH	2,96	1,23
	HT	5,89	1,41
	TB	2,59	1,43
	TH	0,94	0,94
	TT	2,78	1,73

Koefisien pemantulan

Posisi		Energi (eV)	Nilai Maksimum
Silicene murni		6,93	0,49
Si-Ga	B	5,75	0,20
	H	6,09	0,21
	T	6,17	0,14
Si-As	B	5,73	0,32
	H	2,98	0,15
	T	5,97	0,20
Si-GaAs	BB	3,45	0,35
	BH	4,60	0,18
	BT	3,40	0,27
	HB	2,25	0,21
	HH	2,94	0,23
	HT	5,99	0,32
	TB	2,60	0,27
	TH	5,83	0,18
	TT	2,82	0,36

Koefisien penyerapan

Posisi		Energi (eV)	Nilai Maksimum
Silicene murni		6,48	0,12
Si-Ga	B	5,73	0,06
	H	5,99	0,06
	T	6,16	0,053
Si-As	B	5,71	0,08
	H	6,56	0,04
	T	5,96	0,07
Si-GaAs	BB	3,34	0,06
	BH	4,40	0,04
	BT	3,36	0,04
	HB	4,43	0,03
	HH	8,20	0,08
	HT	5,90	0,08
	TB	2,61	0,04
	TH	4,75	0,04
	TT	8,01	0,07

Perhitungan Energi Cohesive

Energi kohesif untuk silicene murni

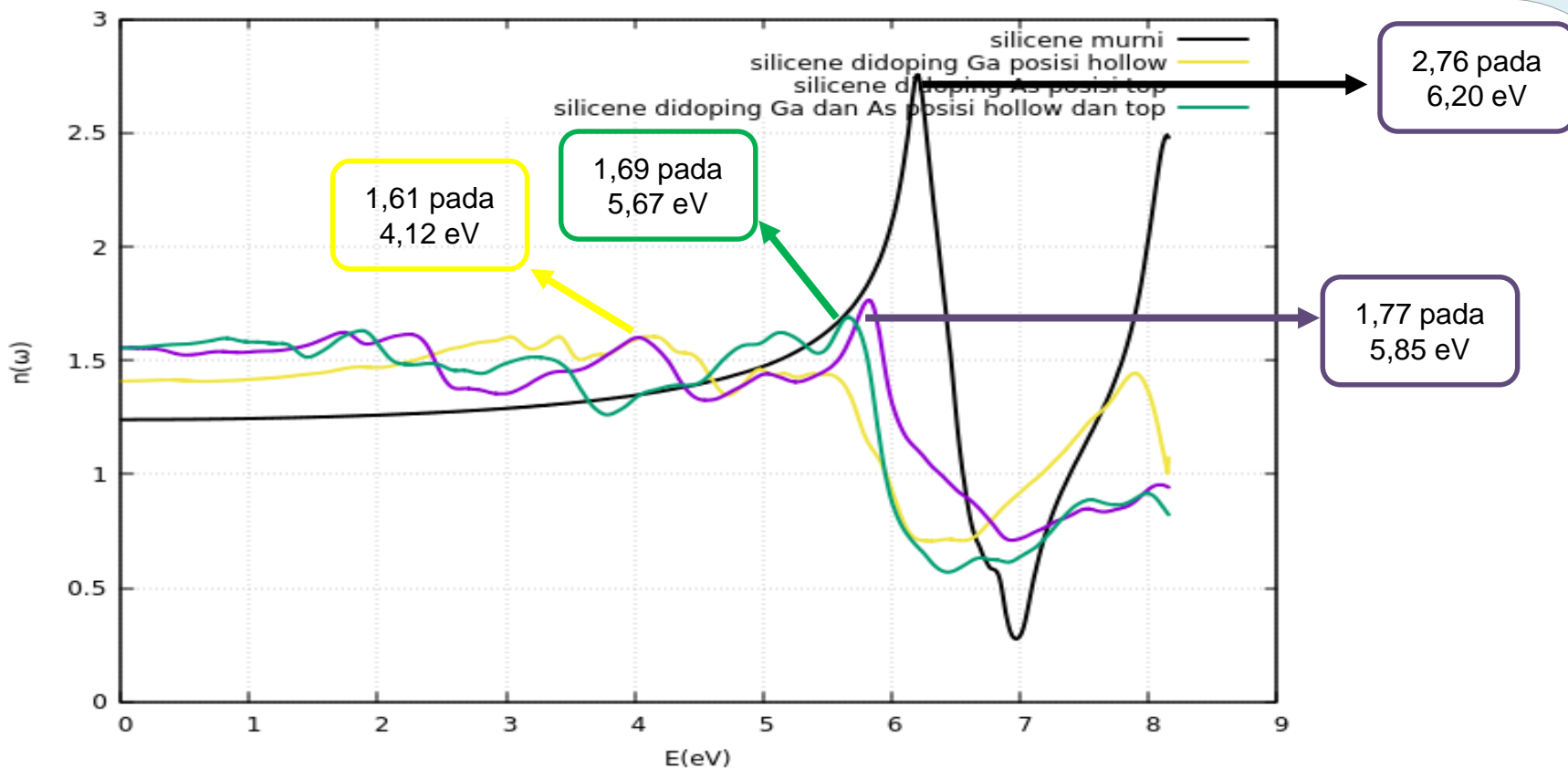
$$E_{cohesive} = \left(E_{total\ silicon} - \left(\frac{E_{total\ silicene}}{8} \right) \right)$$

Energi kohesif untuk silicene murni didoping Ga atau Arsenik

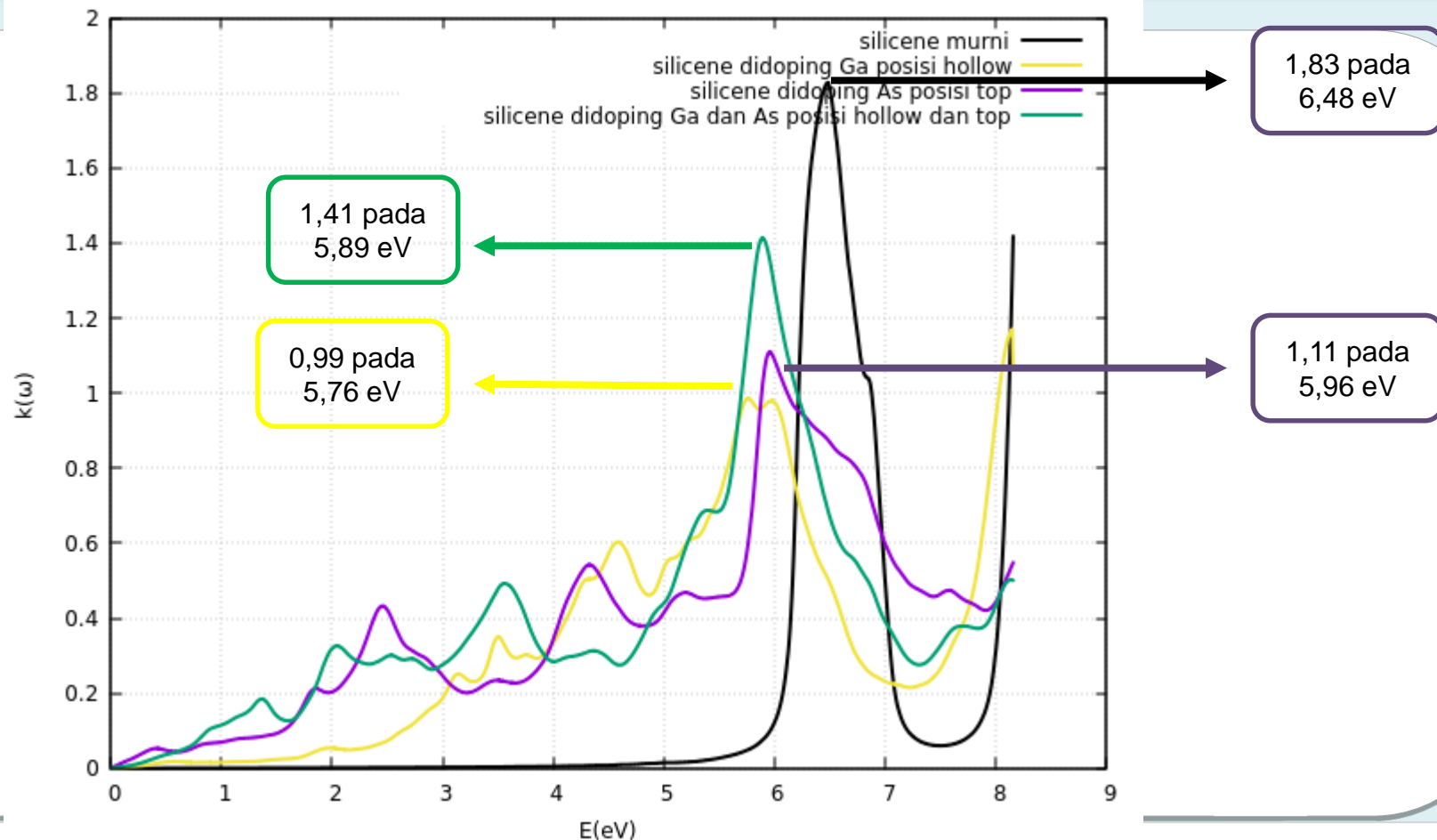
$$E_{cohesive} = (E_{total} - (E_{silicene} + E_{adatom}))$$

Doping	Energi Cohesive (Ha)	
Silicene murni	4,33	
Si-Ga	B	-1,25
	H	-1,63
	T	-0,70
Si-As	B	-1,08
	H	-1,28
	T	-1,45

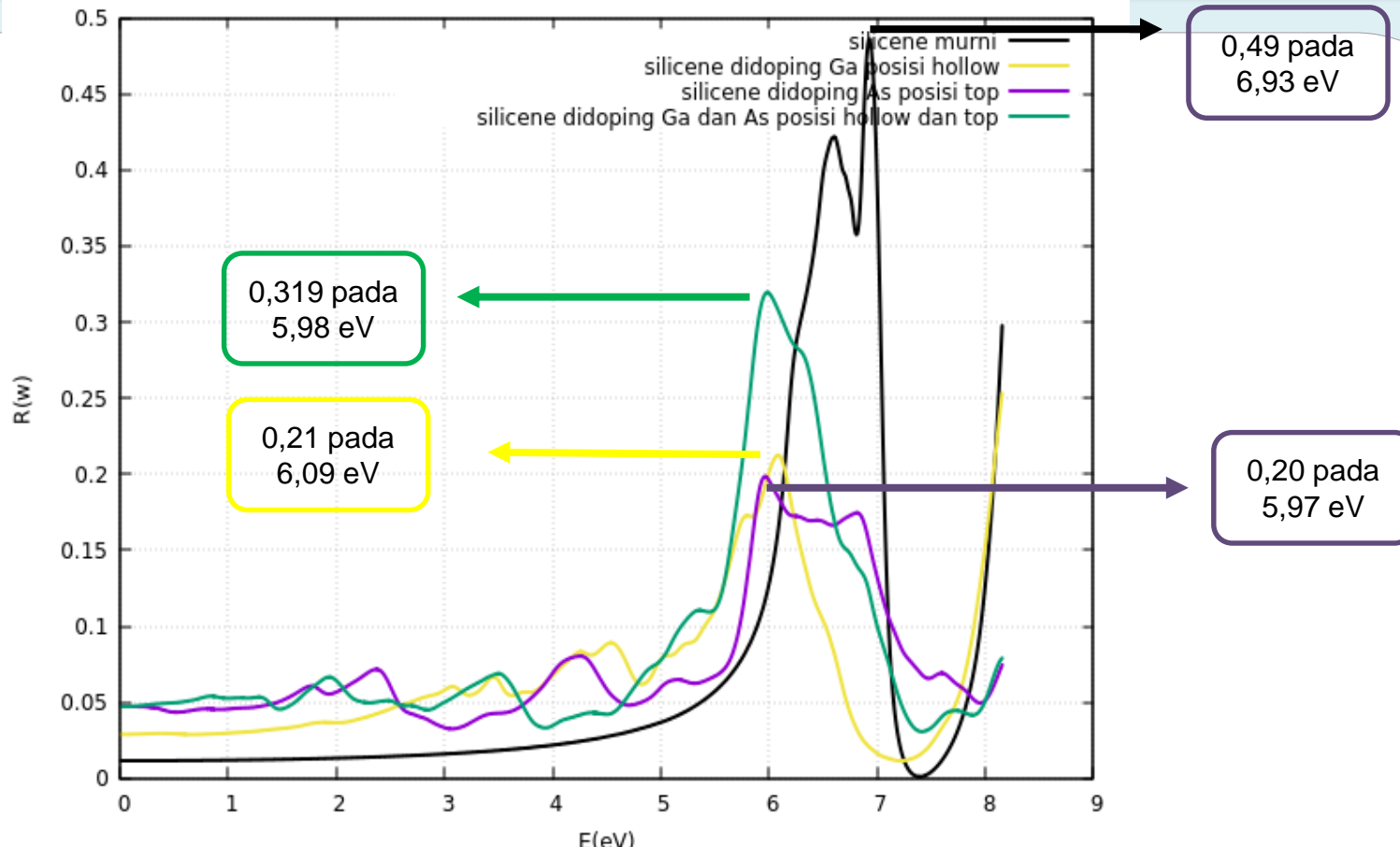
Perbandingan posisi (Indeks bias real)



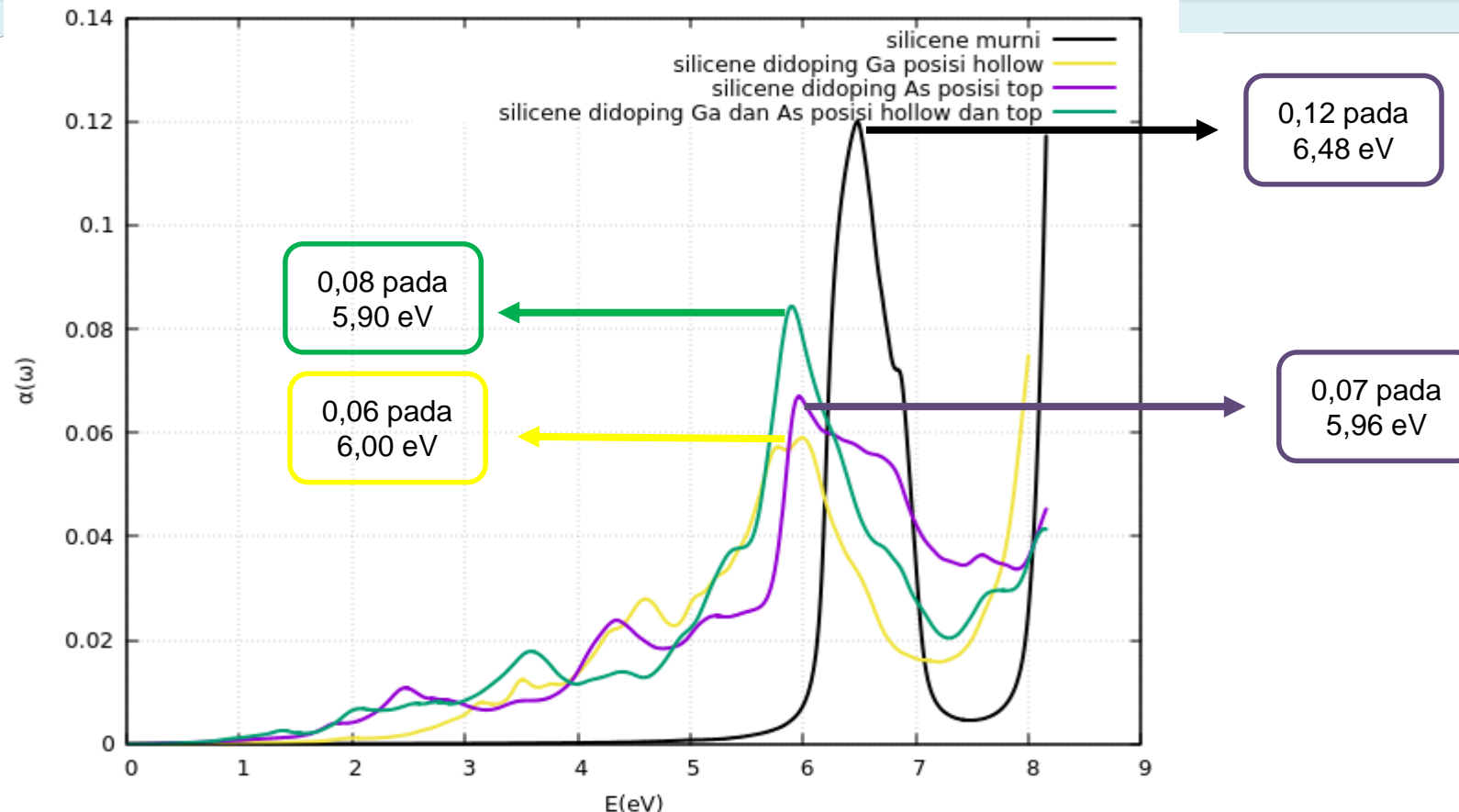
Perbandingan posisi (Indeks bias imajiner)



Perbandingan posisi (koefisien pemantulan)



Perbandingan posisi (koefisien penyerapan)



Kesimpulan

- Semua sifat optik silicene murni menurun ketika di doping dengan Ga, As dan GaAs.
- Nilai indeks bias (real) paling rendah pada saat silicene di doping dengan Gallium pada posisi hollow dan top. Nilai indeks bias (imajiner), koefisien pemantulan dan koefisien penyerapan paing rendah pada saat silicene didoping dengan Gallium pada posisi top.
- Nilai indeks bias (imaginer), koefisien pemantulan, koefisien penyerapan terendah pada saat silicene didoping dengan Arsenik pada posisi hollow. Nilai indeks bias (real) terendah pada saat silicene didoping dengan Arsenik pada posisi top.
- Nilai silicene murni yang didopping gallium arsenik untuk Nilai indeks bias, koefisien pemantulan, dan koefisien penyerapan mengalami penurunan

Saran

Pada penelitian selanjutnya diharapkan meneliti tentang pengaruh variasi doping dan banyaknya doping dengan material dua dimensi yang berbeda

감사합니다 Natick

Grazie Danke Ευχαριστίες Dalu

Grazie Thank You Köszönöm

Grazie Спасибо Dank Gracias

谢谢 Merci Seé ありがとう